



Prix Paul Caseau 2018

Charles Demay^{1,2}

Modélisation et simulation
d'écoulements transitoires
diphases eau-air dans les
circuits hydrauliques

Encadrement : Christian Bourdarias², Benoît de Laage de
Meux¹, Stéphane Gerbi², Jean-Marc Hérard¹

¹EDF R&D Chatou, dpt. MFEE

²Université Savoie Mont Blanc, LAMA



SCIENCE & ENSEIGNEMENT



Plan

1 Contextes industriel et scientifique

2 Principaux résultats

3 Conclusion et perspectives

Contexte industriel

- Certains **circuits hydrauliques** assurent des fonctions de sûreté au sein des centrales nucléaires du parc EDF



eau

Écoulement en charge

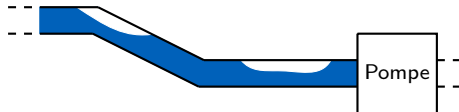
Contexte industriel

- Certains **circuits hydrauliques** assurent des fonctions de sûreté au sein des centrales nucléaires du parc EDF



Écoulement en charge

- La **présence d'air** non désirée dans ces circuits soulève des **problématiques fortes** :
 - ▶ Risque de réduction du débit
 - ▶ Risque de non-opérabilité des systèmes de pompage



Contexte industriel

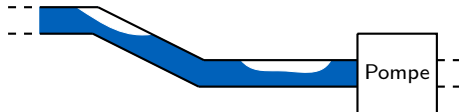
- Certains **circuits hydrauliques** assurent des fonctions de sûreté au sein des centrales nucléaires du parc EDF



Écoulement en charge

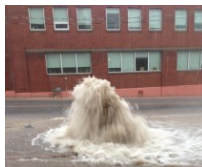
- La **présence d'air** non désirée dans ces circuits soulève des **problématiques fortes** :

- ▶ Risque de réduction du débit
- ▶ Risque de non-opérabilité des systèmes de pompage



- **Problématiques connexes**

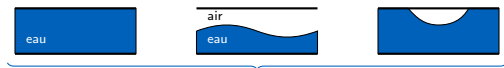
- ▶ Centrales hydrauliques : pressurisation/dépressurisation violente dans les conduites
- ▶ Réseaux d'assainissement : évacuation de poches d'air sous forme de geyser



Contexte scientifique

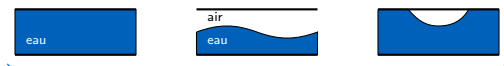


Contexte scientifique

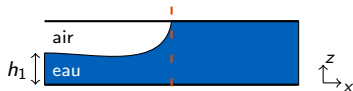


Modélisation 1D des écoulements mixtes

Contexte scientifique



Modélisation 1D des écoulements mixtes



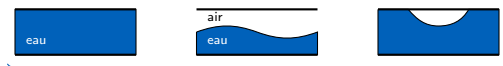
Régime stratifié

- ★ Écoulement **diphasique** eau-air
- ★ Ondes **gravitaires lentes**
(célérité $\sim \sqrt{gh_1} \lesssim 10 \text{ m.s}^{-1}$)

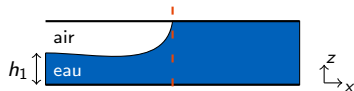
Régime en charge

- ★ Écoulement **monophasique** en eau
- ★ Ondes **acoustiques rapides**
(célérité $\sim 1500 \text{ m.s}^{-1} \gg \sqrt{gh_1}$)

Contexte scientifique



Modélisation 1D des écoulements mixtes



Régime stratifié

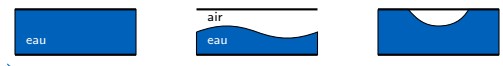
- ★ Écoulement **diphasique** eau-air
- ★ Ondes **gravitaires lentes**
(célérité $\sim \sqrt{gh_1} \lesssim 10 \text{ m.s}^{-1}$)

Régime en charge

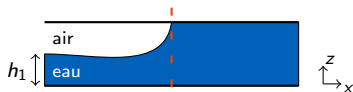
- ★ Écoulement **monophasique** en eau
- ★ Ondes **acoustiques rapides**
(célérité $\sim 1500 \text{ m.s}^{-1} \gg \sqrt{gh_1}$)

► Besoin d'un modèle diphasique 1D d'écoulements mixtes exprimé dans la littérature ◀

Contexte scientifique



Modélisation 1D des écoulements mixtes



Régime stratifié

- ★ Écoulement **diphasique** eau-air
- ★ Ondes **gravitaires lentes**
(célérité $\sim \sqrt{gh_1} \lesssim 10 \text{ m.s}^{-1}$)

Régime en charge

- ★ Écoulement **monophasique** en eau
- ★ Ondes **acoustiques rapides**
(célérité $\sim 1500 \text{ m.s}^{-1} \gg \sqrt{gh_1}$)

► Besoin d'un modèle diphasique 1D d'écoulements mixtes exprimé dans la littérature ◀

Travaux de thèse

- I. **Modélisation** : développement et analyse d'un modèle diphasique d'écoulements mixtes
- II. **Discrétisation** : développement et analyse d'une méthode numérique pour simuler ce modèle
- III. **Validation** de l'approche générale sur des cas tests représentatifs

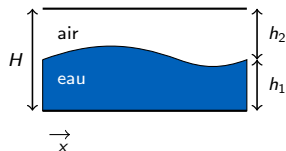
- **Intégration sur la hauteur** des équations d'**Euler isentropiques** pour chaque phase

Système à 5 équations et 5 inconnues

$$\begin{cases} \partial_t \mathbf{W} + \partial_x F(\mathbf{W}) + B(\mathbf{W}) \partial_x \mathbf{W} = S(\mathbf{W}), \\ \mathbf{W} = (h_1, \rho_1, \rho_2, u_1, u_2). \end{cases}$$

- ★ Transport de l'interface (1 équation)
- ★ Conservation de la masse (2 équations)
- ★ Conservation de la quantité de mouvement (2 équations)

Densité : ρ_k , Pression : $P_k(\rho_k)$, Vitesse : u_k



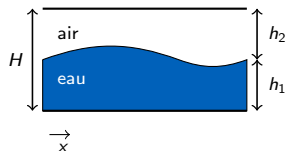
- **Intégration sur la hauteur** des équations d'**Euler isentropiques** pour chaque phase

Système à 5 équations et 5 inconnues

$$\begin{cases} \partial_t \mathbf{W} + \partial_x F(\mathbf{W}) + B(\mathbf{W}) \partial_x \mathbf{W} = S(\mathbf{W}), \\ \mathbf{W} = (h_1, \rho_1, \rho_2, u_1, u_2). \end{cases}$$

- ★ Transport de l'interface (1 équation)
- ★ Conservation de la masse (2 équations)
- ★ Conservation de la quantité de mouvement (2 équations)

Densité : ρ_k , Pression : $P_k(\rho_k)$, Vitesse : u_k



- **Contrainte hydrostatique** et **inégalité d'entropie** pour déterminer les lois de fermeture

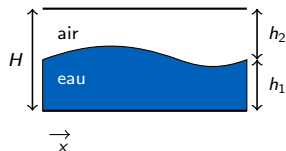
- **Intégration sur la hauteur** des équations d'**Euler isentropiques** pour chaque phase

Système à 5 équations et 5 inconnues

$$\begin{cases} \partial_t \mathbf{W} + \partial_x F(\mathbf{W}) + B(\mathbf{W}) \partial_x \mathbf{W} = S(\mathbf{W}), \\ \mathbf{W} = (h_1, \rho_1, \rho_2, u_1, u_2). \end{cases}$$

- ★ Transport de l'interface (1 équation)
- ★ Conservation de la masse (2 équations)
- ★ Conservation de la quantité de mouvement (2 équations)

Densité : ρ_k , Pression : $P_k(\rho_k)$, Vitesse : u_k



- **Contrainte hydrostatique** et **inégalité d'entropie** pour déterminer les lois de fermeture
- **Description diphasique unifiée d'un écoulement mixte**

- ✓ Régime stratifié : consistance avec les équations de Saint-Venant
- ✓ Régime en charge (ou sec) : consistance avec les équations d'Euler compressible

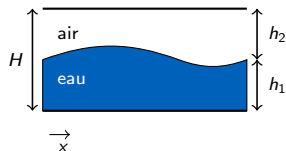
- **Intégration sur la hauteur** des équations d'**Euler isentropiques** pour chaque phase

Système à 5 équations et 5 inconnues

$$\begin{cases} \partial_t \mathbf{W} + \partial_x F(\mathbf{W}) + B(\mathbf{W}) \partial_x \mathbf{W} = S(\mathbf{W}), \\ \mathbf{W} = (h_1, \rho_1, \rho_2, u_1, u_2). \end{cases}$$

- ★ Transport de l'interface (1 équation)
- ★ Conservation de la masse (2 équations)
- ★ Conservation de la quantité de mouvement (2 équations)

Densité : ρ_k , Pression : $P_k(\rho_k)$, Vitesse : u_k

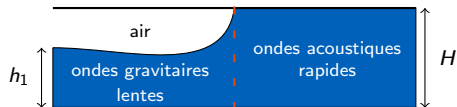


- **Contrainte hydrostatique** et **inégalité d'entropie** pour déterminer les lois de fermeture
- **Description diphasique unifiée d'un écoulement mixte**

- ✓ Régime stratifié : consistance avec les équations de Saint-Venant
- ✓ Régime en charge (ou sec) : consistance avec les équations d'Euler compressible

- **Propriétés mathématiques du modèle**

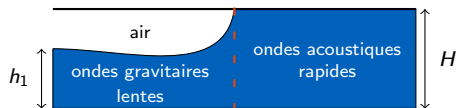
- ✓ Hyperbolicité
- ✓ Positivité des hauteurs et des densités
- ✓ Inégalité d'entropie
- ✓ Unicité des relations de saut



Écoulement mixte

Phases évanescentes ($h_k \rightarrow 0$)

Système complexe



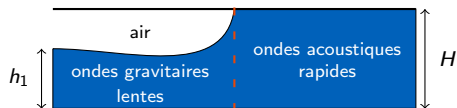
Écoulement mixte
Phases évanescentes ($h_k \rightarrow 0$)
Système complexe

- **Séparation du modèle** en 3 sous-systèmes

1. Dynamique lente 2. Dynamique rapide 3. Relaxation en vitesse

$$\partial_t \mathbf{W} + \partial_x F_{lente}(\mathbf{W}) + B_{lente}(\mathbf{W}) \partial_x \mathbf{W} + \partial_x F_{rapide}(\mathbf{W}) + B_{rapide}(\mathbf{W}) \partial_x \mathbf{W} = S_{lente}(\mathbf{W}) + S_{relax.}(\mathbf{W})$$

► **Traitement numérique adapté à chaque dynamique** ◀
(méthode de Volumes Finis implicite-explicite)



Écoulement mixte
Phases évanescentes ($h_k \rightarrow 0$)
Système complexe

- **Séparation du modèle** en 3 sous-systèmes

1. Dynamique lente 2. Dynamique rapide 3. Relaxation en vitesse

$$\partial_t \mathbf{W} + \partial_x F_{lente}(\mathbf{W}) + B_{lente}(\mathbf{W}) \partial_x \mathbf{W} + \partial_x F_{rapide}(\mathbf{W}) + B_{rapide}(\mathbf{W}) \partial_x \mathbf{W} = S_{lente}(\mathbf{W}) + S_{relax.}(\mathbf{W})$$

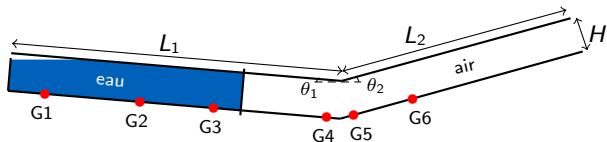
► **Traitement numérique adapté à chaque dynamique** ◀
(méthode de Volumes Finis implicite-explicite)

- **Propriétés du schéma numérique**

- ✓ **Positivité** des hauteurs et des densités
- ✓ **Résolution stable et précise** des ondes acoustiques et gravitaires
- ✓ **Robustesse** en présence de phases évanescentes ($h_k \rightarrow 0$)

Cas test expérimental : Aureli et al. (2015)

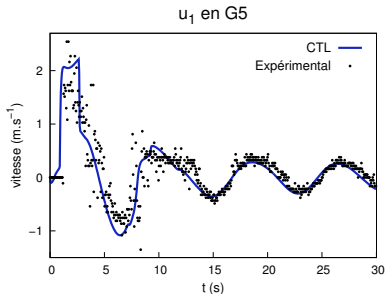
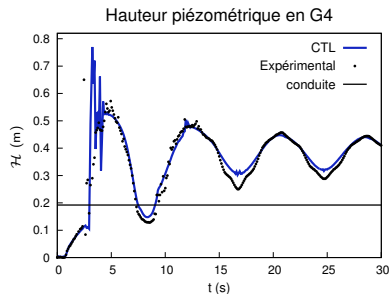
- Conditions initiales :



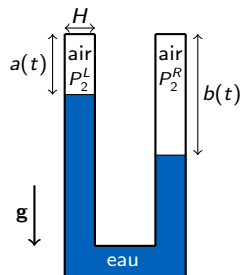
$$\begin{aligned}L_1 &= 7 \text{ m} \\L_2 &= 5.12 \text{ m} \\H &= 0.192 \text{ m} \\\theta_1 &= -4.8^\circ \\\theta_2 &= 15.48^\circ\end{aligned}$$

Gk: points de mesure

- Résultats de simulation avec le modèle CTL (300 cellules) :

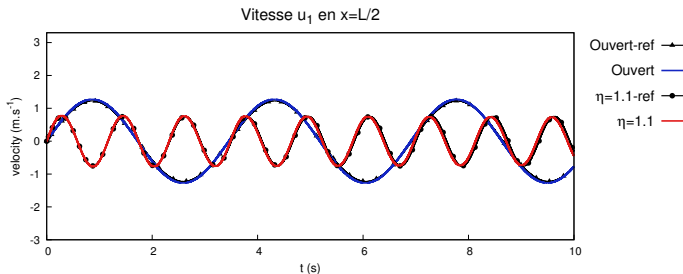


Cas test analytique : tube en U



- $H = 0.1 \text{ m}$, $L = 10 \text{ m}$
- Conditions initiales :
 - ★ Vitesses nulles
 - ★ $a_0 = \frac{b_0}{2} = 3 \text{ m}$
 - ★ $P_{2,0}^L = \eta P_{2,0}^R$
- Construction d'une **solution de référence**

Influence du niveau de pressurisation des poches ? Conduite ouverte VS $P_{2,0}^L = \eta P_{2,0}^R$



Conclusion et perspectives

- **Développement d'un modèle 1D diphasique pour les écoulements mixtes en conduite**
 - ★ Description diphasique unifiée des différents régimes
 - ★ Propriétés mathématiques notables du modèle
 - ★ Méthode numérique robuste et efficace dans les différents régimes
- **Validation de l'approche sur des solutions de référence et des données expérimentales**
 - ★ Dynamique monophasique (état de l'art)
 - ★ Dynamique diphasique (poches d'air piégées)
- **Perspectives**
 - ★ Utilisation du modèle sur des configurations industrielles (nucléaire, hydraulique, industrie pétrolière)
 - ★ Extensions du modèle (écoulements eau-vapeur, autres éléments du circuit)

Merci pour votre attention !

Références :

- ▶ A compressible two-layer model for transient gas-liquid flows in pipes. C. Demay, J.-M. Hérard, *Continuum Mech. Therm.*, **29**: 385–410, 2017.
- ▶ Numerical simulation of a compressible two-layer model: a first attempt with an implicit-explicit splitting scheme, C. Demay, C. Bourdarias, B. de Laage de Meux, S. Gerbi, J.-M. Hérard, *J. Comput. Appl. Math.*, **346**: 357–377, 2019.
- ▶ A splitting method adapted to the simulation of mixed flows in pipes with a compressible two-layer model, C. Demay, C. Bourdarias, B. de Laage de Meux, S. Gerbi, J.-M. Hérard, *ESAIM: M2AN*, in press, 2019.